

# 我国西南地区MCC发生的大尺度天气形势条件和卫星云图特征

张伟廉 张少洪

(空军第七研究所)

## 提 要

根据具体情况，重新定义了我国MCC的物理特征和条件。分析研究了1986年6月14—17日天气过程期间，华南静止锋天气形势下发生的13次MCC云团。较为详细地论述了其大尺度天气形势、卫星云图演变特征、降水分布以及动力、热力结构。

## 一、概 述

中尺度对流复合体 (Mesoscale Convective Complex, 简称 MCC)，是由增强红外 (EIR) 卫星云图的特征来定义的一种中尺度深厚对流天气系统。这种天气系统，在美国中部经常发生。自 80 年代以来，美国 R. A. Maddox 和 J. M. Fritsch, D. J. Perkey 等人发现并对它进行了研究。我国因 EIR 云图的使用还不普遍，因此，对 MCC 的研究较少。

我们参照 Maddox 定义 MCC 所具有的物理特性和条件，根据我国 MCC 发生的情况，将它原定的偏心率  $\geq 0.7$ 、冷云盾的红外温度  $\leq -32^{\circ}\text{C}$ ，改为偏心率  $\geq 0.6$ 、增强温度处理的第一档  $T_{BB} = -46\text{--}55^{\circ}\text{C}$ 。其他条件不变。根据以上定义，我们普查了 1982、1983 年 5—6 月的 EIR 云图及气象资料，发现我国也经常发生 MCC，而且活动频繁。在这两年的 4 个月里，共有 16 次 MCC 天气

过程，其中，1982 年的两个月内发生 4 次，一般强度较弱；1983 年的两个月内发生了 12 次，有的强度较大。年际分布不均匀，是由于大尺度环流的年际差异而引起的。从地区分布看（图 1），以贵州南部和广西地区为一个较集中的多发地区。

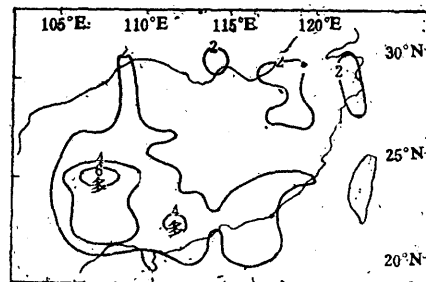


图 1 1982、1983 年 5—6 月  $MCC (T_{BB} \leq -51^{\circ}\text{C})$  云区的分布频率

图 2 绘出 MCC 的开始形成、发展成熟、最后消亡时间的分布和生命史。从图可见，

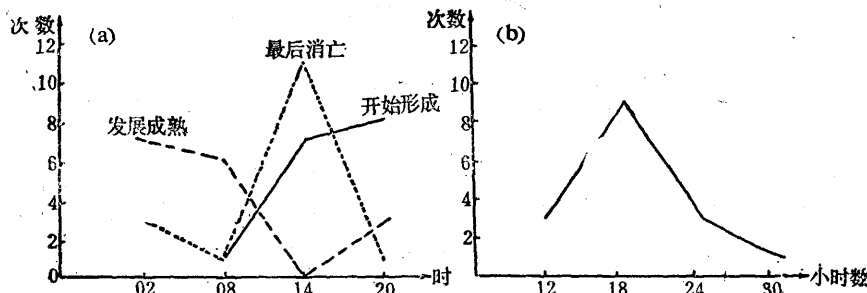


图 2 MCC 演变各阶段的时间分布 (a) 及生命史 (b)

MCC的开始形成时间有两个高峰，即14<sup>h</sup>和20<sup>h</sup>，占15/16；70%左右在14<sup>h</sup>左右最后消亡，发展成熟时间一般在02<sup>h</sup>（7/16）和08<sup>h</sup>（6/16）。大多数MCC的生命史是18小时左右（9/16），其次是12小时和24小时（各为3/16）。

从发生的16次MCC天气过程分析，它们在两类天气形势下产生。一类是华南准静止锋西段发生的MCC；另一类为气旋波内弱冷锋西部或切变线前部暖区中发生的MCC。

本文主要对华南准静止锋天气形势下产生的MCC进行分析研究。选择1983年6月14—17日的天气过程，此间共发生13次较典型的MCC云团，从大尺度的天气形势条件、卫星云图上的演变特征、降水分布以及动力、热力结构等方面，作了较详细的论述，从而为预报提供了有益的依据。

## 二、大尺度天气形势条件

1983年6月15日，在25°N附近准静止的冷锋，其最西段形成了云贵静止锋。云贵静止锋的建立和稳定维持，开始了MCC天气过程。从6月14—17日，在云贵交界和广西地区，连续3天在类似地点和时间内，产生每天一次周期性的MCC天气过程。其移动路径及用平均场所表示的环境系统三维配置和相互关系见图3。

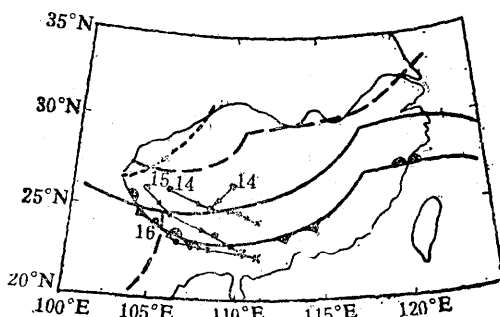


图3 3次MCC移动路径(箭头)和锋面、850hPa切变线(实线)、700hPa切变线或槽线(断线)、500hPa槽线(虚线)的平均位置  
略径取自EIR 6小时一次的中心位置，数字为日期

\* 上海气象局观象台卫星组提供。

\*\* 依据上海气象局观象台卫星组1983年的有关规定划分。

图中，6小时一次的EIR云图上MCC的中心位置，以矢量联接。日期和时间为：

第1次，6月14日20<sup>h</sup>开始形成，15日14<sup>h</sup>消亡；第2次，6月15日20<sup>h</sup>开始形成，16日14<sup>h</sup>消亡；第3次，6月16日20<sup>h</sup>开始形成，17日14<sup>h</sup>消亡。

3次MCC在EIR云图<sup>\*</sup>上的云型演变见图4中1、4、7行的云型素描。素描的云型共增强4级，划分\*\*最外围线相对应的T<sub>BB</sub>为-46—-55°C，其余3级依次为-55—-63°C、-63—-71°C、T<sub>BB</sub><-71°C。

MCC开始形成阶段时的对流单体，一般都在静止锋西段发展起来，直至17日静止锋消失，这种相对稳定的天气形势转换为其他天气系统控制，MCC也就不再发生了。

850hPa高度上系统的演变，基本和地面相似。在静止锋形成的同时，相应地在25°N、100—113°E附近建立了一条东—西向的切变线，在14—16日，切变线的位置稳定少变，其最西端与静止锋相交，MCC开始形成阶段的对流单体就在它们相交处附近发生发展后东移。17日，切变线的西段向东收缩消失，MCC天气过程始告结束。

对流层中层的系统变化与低层稍有不同，切变线随高度向北倾斜，在700hPa上，切变线的西段位于26—28°N一带。值得注意的是，在云南东部及云贵交界处、广西等地区的SW气流中，产生MCC的3天内，每天有一次周期性的中尺度短波槽产生，一般在20<sup>h</sup>产生，东移至广西东部消失。槽线北端与850hPa的切变线和地面静止锋正交，并沿锋面向东移动，MCC开始形成阶段的对流活动，就在700hPa槽线北端与850hPa切变线相交点附近地区首先触发产生，此后，MCC的移动、发展及消亡，基本与此短波槽的活动相一致。

500hPa上，西藏高原中部有一个明显的短波槽，当槽东移出高原到达内陆上空时，仅对27°N以北地区影响较大，产生MCC的云南、贵州和广西交界处，只是处于槽底，

但在涡度场上却连续 3 天有一对正负涡度中心移过该处（特别是正涡度中心更为明显），17 日 MCC 天气过程结束后，也就没有此现象出现了。

300hPa 上，MCC 的位置，接近副高，在它以北为极锋急流，其南、北端呈现了显著的经向风切变。17 日，在 MCC 所在处的左上方出现了 NW 急流，南、北端的水平风切变消失，MCC 的过程也就结束。

综上所述，可概括出，静止锋型的 MCC，产生在地面西南热低压北部、华南静止锋西段，并在 850hPa 切变线、700hPa 短波槽和 500hPa 槽底上下相互叠加的地区。当这种形势由天气尺度的高空槽从西移来而重新调整后，MCC 天气过程最终结束。

### 三、MCC 在卫星云图上的演变特征和天气现象

MCC 云型演变，在 EIR 云图上的表现，可分为 4 个阶段。

#### 1. 开始形成阶段

一般从 14<sup>h</sup> 开始，在西藏高原东南麓有若干对流单体发展起来，到傍晚时已逐渐减弱。但此时在 700hPa 上，有一中尺度小槽出现，使该地区重新组织起了新的对流活动。500hPa 上，同时有一个正涡度中心加入，更促使对流活动发展，从一个发展成几个对流中心，最后，逐渐合并为一个较大的  $\alpha$  中尺度对流云团，有时还伴随着出现 1—2 个  $\beta$  中尺度的对流云团。中心密蔽云区达到  $T_{BB} \leq -71^{\circ}\text{C}$ ，但从最冷云盾的面积和形状等方面都尚未具备 MCC 应有的标准。从云图上分析，云团边缘的温度梯度很大，表明了该云团主要为对流云组成。实际天气表现为雷暴、阵雨等对流性降水，但降水量不大，图 4 中 1、4、7 行 20<sup>h</sup> EIR 云图素描即属本阶段的云型特征。

#### 2. 发展成熟阶段

到了午夜或清晨，对流云团离开源地向 ESE—SE 移动，再次合併发展成为一个成熟的 MCC（见图 4 中 02<sup>h</sup>、08<sup>h</sup> 云图素描）。云团孤立存在，呈圆形或椭圆形，EIR 的  $T_{BB}$  呈均匀的对称分布， $\bar{T}_{BB} < -51^{\circ}\text{C}$  的

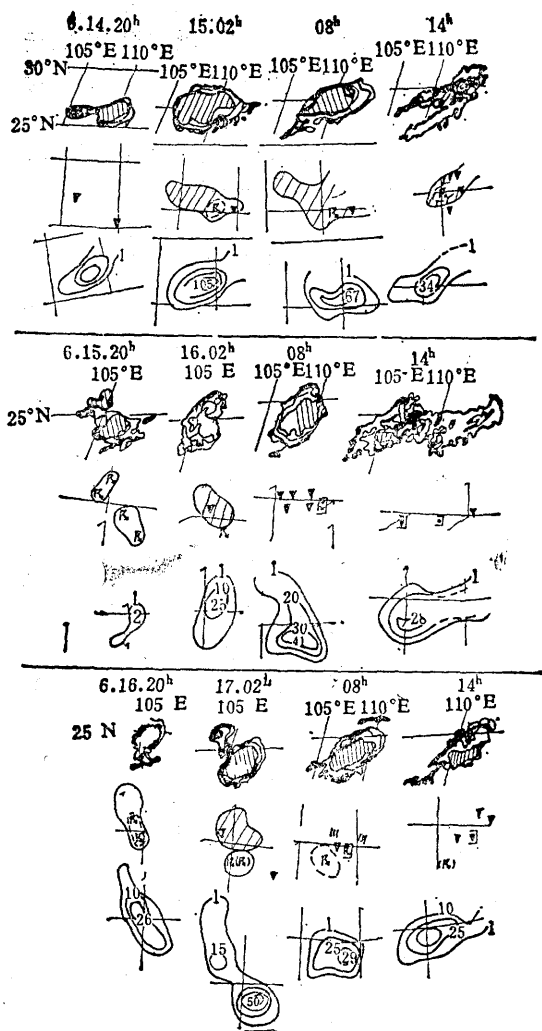


图 4 EIR 云图上 MCC 云型素描 (1、4、7 行，外围线  $T_{BB} \leq -51^{\circ}\text{C}$ ，斜线区  $T_{BB} < -71^{\circ}\text{C}$ )、地面天气图上天气区 (2、5、8 行) 及 6 小时降水分布 (3、6、9 行)

云区和  $T_{BB} < -70^{\circ}\text{C}$  的最冷云区面积都达到了最大的水平范围，面积  $\geq 10^5 \text{ km}^2$ ，此面积的持续时间为 6 小时以上，完全符合 Maddox 定义 MCC 的标准。此时  $\bar{T}_{BB} < -51^{\circ}\text{C}$  的云区比  $T_{BB} < -70^{\circ}\text{C}$  的云区范围显然要大，MCC 各方向上的温度梯度基本均匀分布。天气表现为对流性的雷暴暴雨和稳

定性降水天气，降水量很大。

### 3. 稳定维持阶段

此阶段的时间一般在开始形成后第二天上午（图4中08<sup>h</sup>云图素描）。云团仍保持MCC的各种特性，但随着700hPa上小槽的东移，亦向东偏南移动。云区范围略有缩小，云团的长轴顺时针转了10—20°，云区趋于拉长。此阶段的持续时间不等，一般在6—12小时左右。 $T_{BB} < -51^{\circ}\text{C}$ 的云区比VIS图上云区明显小， $T_{BB} < -70^{\circ}\text{C}$ 的云区在 $\bar{T}_{BB} = -51^{\circ}\text{C}$ 云区内占的比例更小，表明了云区内的温度梯度继续减小，中心强度也趋于减弱，此时虽仍有雷阵雨，但以稳定性降水为主，而且稳定性降水区区域明显扩大。

### 4. 消亡阶段

此阶段一般在午后，随着700hPa小槽东移减弱的同时，云团的一个明显特征是：不再具备MCC所特有的形状、尺度、足够最冷云区面积和持续时间等特性， $T_{BB} < -51^{\circ}\text{C}$ 和 $T_{BB} < -70^{\circ}\text{C}$ 的云盾范围很快收缩，云型支离破碎不成形（见图4中14<sup>h</sup>云图素描）。此时的天气为零星阵雨和小雨。

## 四、MCC云型演变各阶段

### 与降水分布的关系

MCC发展各阶段云型特征和地面天气图上的天气区范围，以及6小时降水量分布有着密切关系，从它们相互比较分析中，可得到天气预报的启示。由图4可看出如下几点。

1. MCC的开始形成和最后消亡阶段降水量最小（为使EIR与云图时次相一致，图4用的是6小时降水量。17日14<sup>h</sup>降水量大，是由于有另外的天气系统渗透发展所致）。发展成熟阶段6小时降水量达到本过程的第一个峰值，3次MCC此时的降水量分别为105mm、41mm、50mm，降水分布范围、形状与云团的面积、形状的吻合程度最高。稳定维持阶段，降水量为本过程的第2个峰值，分别为67mm、28mm、29mm，降水分布和云团特征大致吻合。

2. 6小时降水量分布与 $T_{BB} < -51^{\circ}\text{C}$ 云区的关系

此种关系可从图4中1、4、7行与3、6、9行的比较得出。

(1) EIR图上最强中心 $T_{BB} < -70^{\circ}\text{C}$ 的云区，与 $R_s > 10\text{mm}$ 的分布区域大致吻合； $R_s = 1 - 10\text{mm}$ 的降水区比 $\bar{T}_{BB} = -51 - 71^{\circ}\text{C}$ 的云区范围大。

(2) 不稳定降水一般发生在 $T_{BB} < -71^{\circ}\text{C}$ 云区内。

3. EIR云图中， $T_{BB} < -51^{\circ}\text{C}$ 云区范围与同时的天气图上天气区范围相差较大（图4中1、4、7行与2、5、8行相比较）。天气图上天气区范围甚至小于 $T_{BB} < -71^{\circ}\text{C}$ 的云区范围，有时，即使有成片的冷云盾，在天气图上也分析不出成片或连续的降水区域。这主要是观测站网密度小的缘故，因此，在作短时外推预报和估计天气实况时，必须以云图的范围为准。

### 五、MCC的动力、热力结构

由于3次MCC的大尺度天气形势稳定少变，因此，它们的动力、热力结构也基本相似。图5是6月16日08<sup>h</sup> MCC天气过程

发展成熟阶段时垂直 $\theta_{se}$ 场和 $\frac{\Delta\theta_{se}}{\Delta p}$ 场的分布以及低空急流轴和MCC位置配置情况。从图中可见，MCC位于850hPa的 $\theta_{se}$ 大值中心及其北部的 $\theta_{se}$ 密集区内，直到300hPa都处于 $\theta_{se}$ 的大值区内， $\theta_{se}$ 大值中心随高度稍向北偏移；低空SW急流轴位于MCC南端，呈NE→SW向，它在3次MCC过程中始终存在，在 $\theta_{se}$ 大值中心区内，MCC则发生在SW急流轴的左后方，从各种分析看，低空SW急流是产生MCC水汽输送的必要条件。以上的空间结构，表明了MCC纯属暖区内的系统。图5中500hPa和700hPa虚线形式类同，MCC在0线附近及靠正区的一侧发展，此处位势不稳定度大，易于发展MCC。在MCC的SW→S→SE各方向都处于 $\frac{\Delta\theta_{se}}{\Delta p}$ 的正大值中心区

内，更有助于MCC的发展。

图6是由3次MCC中心各7个点的平

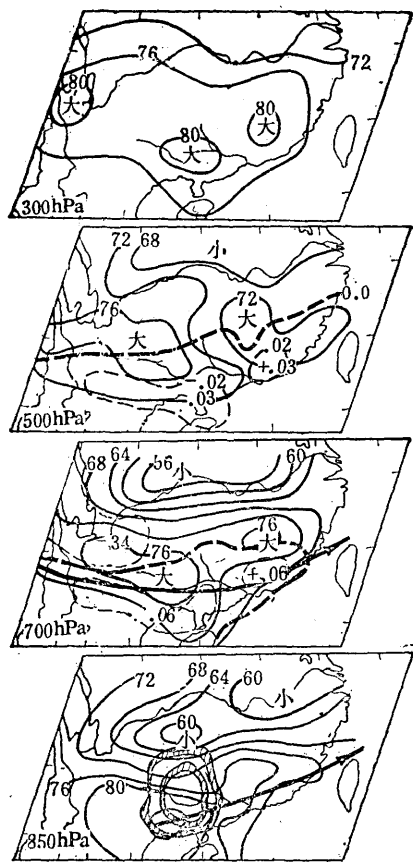


图 5 MCC 发展成熟阶段  $\theta_{se}$  场和  $\frac{\Delta\theta_{se}}{\Delta p}$  场的空间结构  
 实线: 等  $\theta_{se}$  线 粗实线: SW 急流轴 斜线区:  
 EIR 云图上的 MCC 虚线:  $\frac{\Delta\theta_{se}}{\Delta p}$  线, 500hPa 为  
 $\frac{\Delta\theta_{se} (850-500)}{\Delta p}$ , 700hPa 为  $\frac{\Delta\theta_{se} (850-700)}{\Delta p}$

均值制成的垂直廓线。它表明了 MCC 各阶段涡度、散度和垂直速度的垂直廓线。

(1) 涡度分布 在 MCC 开始形成和发展成熟阶段, 正涡度的层次较厚, 从地面一直到 400hPa。400hPa 以上才转为负涡度。消亡阶段正涡度层次降低到 700hPa 以下。但无论在哪个阶段, 最大正涡度都出现在 850hPa 上, 且  $\zeta \geq 6 \times 10^{-6} \cdot s^{-1}$ 。

(2) 散度分布 在 MCC 开始形成阶

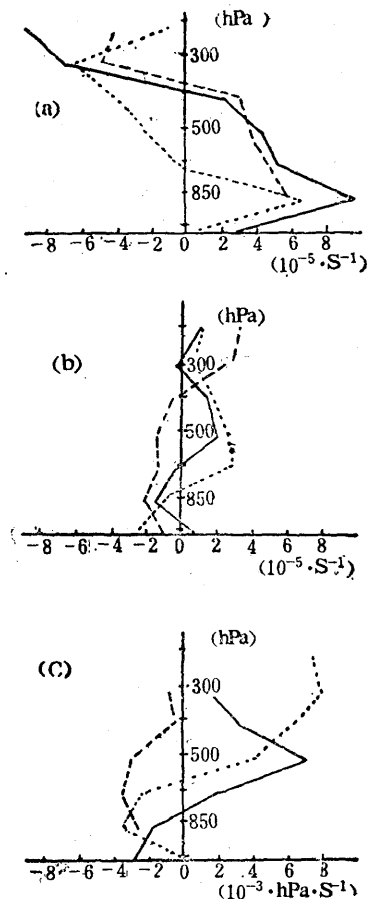


图 6 3 次 MCC 演变各阶段中心附近平  
 均涡度(a), 散度(b), 垂直速度(c)  
 图例同图 2

段, 地面到 700hPa 为辐合层, 700hPa 以上为辐散层; 发展成熟阶段, 辐合层明显加厚, 在 400hPa 已成为辐合层, 辐合量亦增大, 最大值出现在 850hPa 上,  $D = -2 \times 10^{-6} \cdot s^{-1}$ , 400hPa 以上转为辐散层, 最大值出现在 200hPa,  $D = 3.2 \times 10^{-5} \cdot s^{-1}$ , MCC 最后消亡阶段时, 只有地面到 850hPa 为辐合, 且辐合量减小, 850hPa 以上全为辐散层, 最大值出现在 700hPa 上,  $D = 2.8 \times 10^{-5} \cdot s^{-1}$ 。

(3) 垂直速度 MCC 开始形成阶段首先在地面到 850hPa 浅层内有上升运动发

展；在发展成熟阶段，上升运动已扩展到300hPa高度，最大值在700hPa上， $\omega = -3.4 \times 10^{-8} \text{ hPa} \cdot \text{s}^{-1}$ ；进入最后消亡阶段时，上升运动又降低至700hPa以下的高度，下沉运动随高度急剧增大，最大值出现在300hPa， $\omega = 7.8 \times 10^{-8} \text{ hPa} \cdot \text{s}^{-1}$ 。

(4) 水汽散度场(图略) 在MCC开始形成阶段，在800hPa以下，由于气流的平流和辐合，出现了一个很大的水汽辐合值( $-67 \times 10^{-5} \text{ g} \cdot \text{kg}^{-1} \cdot \text{s}^{-1}$ )，随着时间的推移，对流的不断发展，低层水汽不断向上输送；在MCC发展成熟时，水汽辐合的湿层一直达到450hPa附近，最大值在850hPa上( $-61 \times 10^{-5} \text{ g} \cdot \text{kg}^{-1} \cdot \text{s}^{-1}$ )。在400hPa附近则出现水汽辐散的大值( $23 \times 10^{-5} \text{ g} \cdot \text{kg}^{-1} \cdot \text{s}^{-1}$ )；MCC最后消亡阶段，整层大气基本为水汽辐散。

## 六、结语

1. 本文的研究结果，与文献[2] Maddox 的10个MCC的大尺度气象条件的合成分析相比较，有很多相同方面。然而，在定义我国MCC形状时，我们采用偏心率 $\geq 0.6$ 的标准。在普查中发现，我国MCC在其他条件相同情况下，椭圆云型多，圆型少，故采用此标准，这对确定MCC的性质并没有影响。

2. 本文应用EIR云图，从我国MCC云型发展演变特征的实际出发，分为开始形成、发展成熟、稳定维持、最后消亡4个阶段，而Maddox根据大尺度天气形势条件，分为生成、强盛、衰弱3个时期。

从云图上将云型特征分阶段，得出的MCC云型图象，有它的实际预报意义，因为，目前对MCC形成的物理机制尚未认识清楚，但它是一个较稳定和缓慢移动的中尺度对流天气系统，从EIR云图上的云型变化出发，较容易认识和掌握它们各个发展阶段不同的云型，从而预计它们的发展。类似华南静止锋型的MCC，在稳定少变的大尺度天气形势下，甚至有可能展望3—4天的中期降水天气趋势。

## 参考文献

- [1] R. A. Maddox, Mesoscale Convective Complexes, Bull. Amer. Meteor. Soc. 61, 1374—1387, 1980.
- [2] R. A. Maddox, Large-Scale Meteorological Conditions Associated with Midlatitude, Mesoscale Convective Complexes, Mon. Wea. Rev., Vol III, 1475—1493, 1983.
- [3] Takako Akiyama, A Medium-Scale Cloud Cluster in a Baiu Front, Journal of the Meteorological Society of Japan, Vol. 62 (3), 485—521, 1984.

The Large-scale synoptic situation of MCC generation

and their satellite image features in Southwest China

Zhang Weilian Zhang Shaohong

Air Force Institute of Meteorology

## Abstract

According to the practice, we have re-defined and analysed the 13 MCC, that occurred during Huanan quasi-stationary front. In this paper the large scale synoptic situation and the features of their satellite image, rainfall area, dynamical and thermal structure have been described.